



مجله علوم و تکنولوژی پلیمر،  
سال بیست و یکم، شماره ۶،  
صفحه ۵۱۳-۵۰۳، ۱۳۸۷  
ISSN : 1016-3255

# نظریه اختتام رادیکال حد واسط در توضیح سینتیک پلیمرشدن و مقایسه با نتایج تجربی RAFT

مجتبی باقری جاغرق<sup>۱</sup>، مهدی سلامی کلچاهی<sup>۱</sup>، محمد نجفی<sup>۱</sup>، وحید حدادی اصل<sup>\*۱</sup>، سیدمهدی قافله باشی زرنده<sup>۲</sup>

۱- تهران، دانشکده مهندسی پلیمر، دانشگاه صنعتی امیرکبیر، صندوق پستی ۱۵۸۷۵-۴۴۱۳

۲- تهران، گروه پژوهش های پلیمری، شرکت پژوهش و فناوری پتروشیمی، کد پستی ۱۴۳۸۵

دریافت: ۸۷/۶/۲۶، پذیرش: ۸۷/۱۰/۹

## چکیده

در این مقاله، ساز و کار کاملی برای واکنش RAFT بر اساس مدل سینتیک اختتام رادیکال حد واسط (IRT) برای پلیمرشدن استینن با عامل RAFT کومیل دی‌تیوبنزوات در نظر گرفته شد. بدین ترتیب، ثابت‌های سرعت افزایش ( $k_a$ ) و جدایش ( $k_f$ ) به ترتیب  $6 \times 10^6$  و  $5 \times 10^4$  و ثابت تعادل معادل با  $K = k_a/k_f = 1.2 \times 10^2$  در نظر گرفته شدند. مدل سازی این ساز و کار با روش معادلات ممان انجام شد. برای بررسی صحت مدل سازی، نتایج حاصل با داده‌های تجربی مقایسه شد. در این مدل سازی، اثر تغییرات غلظت اولیه عامل RAFT روی درصد تبدیل، وزن مولکولی و شاخص پراکندگی پلیمر نهایی بررسی شد. با توجه به نتایج، غلظت عامل RAFT در مراحل ابتدایی واکنش به شدت کاهش می‌یابد که بدین ترتیب امکان رشد هم زمان رادیکال‌ها فراهم و با افزایش غلظت اولیه عامل RAFT خصلت زنده بودن پلیمرشدن بیشتر می‌شود. هم‌چنین، این امر به خطی شدن منحنی‌های درصد تبدیل و وزن مولکولی، کاهش شاخص پراکندگی و در نتیجه باریک شدن توزیع وزن مولکولی پلیمر می‌انجامد.

## واژه‌های کلیدی

پلیمرشدن، RAFT،  
رادیکال حد واسط،  
مدل سینتیکی،  
معادلات ممان

\*مسئول مکاتبات، پیام‌نگار:

haddadi@aut.ac.ir

## Intermediate Radical Termination Theory in Elucidation of RAFT Kinetics and Comparison to Experimental Data

M. Baqueri-Jagharq<sup>1</sup>, M. Salami-Kalajahi<sup>1</sup>, M. Najafi<sup>1</sup>, V. Haddadi-Asl<sup>\*1</sup>, and S.M. Ghafelebashi-Zarand<sup>2</sup>

(1) Polymer Engineering Department, Amirkabir University of Technology, P.O. Box: 15875-4413, Tehran, Iran

(2) Polymer Research Group, Petrochemical Research and Technology Company, Postal code: 14385, Tehran, Iran

Received 16 September 2008, accepted 29 December 2008

## Abstract

In current work a comprehensive mechanism based on intermediate radical termination theory is assumed for RAFT polymerization of styrene over cumyl dithiobenzoate as RAFT agent. Rate constants for addition ( $k_a$ ) and fragmentation reactions ( $k_f$ ) are set to  $6 \times 10^6$  and  $5 \times 10^4$  respectively, which lead to an equilibrium constant value of  $K = k_a/k_f = 1.2 \times 10^2$ . Moment equations method was used to model this mechanism and the results were compared to experimental data to verify modeling. The effects of changing RAFT agent concentration on conversion, molecular weight and polydispersity index of the final product were investigated through the modeling. According to the results, the likelihood of living polymerization increases with raising RAFT agent concentration which leads to linearity of conversion and molecular weight curves and therefore lowering the polydispersity index and narrowing the molecular weight distribution.

## Key Words

polymerization, RAFT,  
intermediate radical,  
kinetic model,  
moment equations

(\* ) To whom correspondence should be addressed.

E-mail: haddadi@aut.ac.ir

## مقدمه

شاخص پراکنده‌گی کم و ساختارهای پیچیده مولکولی، توجه زیادی را به خود جلب کرده است. اصلی‌ترین مزیت روش RAFT بر سایر روش‌های پلیمر شدن راديکالی زنده این است که می‌توان آن را برای گستره وسیعی از مونومرهای عامل دار و بدون عامل به کار برد و مهم تر این که از آن برای پلیمر شدن در دمای کم و در محیط آبی استفاده می‌شود [۱۰].

با وجود این که از روش RAFT برای تولید پلیمرهایی با معماری و وزن مولکولی مشخص استفاده زیادی شده و روی ساز و کار این فرایند مطالعات زیادی انجام شده است، اما هنوز یک نظریه مشترک راجع به ساز و کار دقیق این روش وجود ندارد. دو نظریه غالب درباره سینتیک RAFT وجود دارد که پیش‌بینی‌های هر کدام درباره غلظت و طول عمر گونه‌های مختلف راديکالی با یک‌دیگر در تناقض است.

در مدل Barner-Kowollik و همکاران [۱۱] یا مدل جدایش کند، راديکال حدواسط تولید شده پایدار فرض می‌شود و طول عمر زیادی دارد. این مدل از واکنش‌های اختتام راديکال‌های حدواسط با سایر راديکال‌های موجود صرف نظر و ثابت تعادل برای واکنش راديکال‌های در حال رشد و زنجیرهای خفته را در حدود  $10^4$  تا  $10^8$  پیش‌بینی می‌کند. در مقابل، در مدل Monteiro [۱۲، ۱۳] یا مدل اختتام راديکال حدواسط برای توضیح سینتیک RAFT فرض می‌شود که بین راديکال‌های حدواسط و سایر راديکال‌های موجود در محیط واکنش، مقدار قابل توجهی واکنش اختتام رخ می‌دهد. در این مدل، مقدار ثابت تعادل بسیار کمتر از مقدار آن در مدل جدایش کند و در حدود  $10^6$  تا  $10^8$  پیش‌بینی می‌شود.

مدل سازی [۱۴، ۱۵] و شبیه سازی [۱۶، ۱۷] دو روش قدرتمند برای تعیین مراحلی هستند که از نظر سینتیکی در یک ساز و کار با اهمیت قرار دارند. این دو روش را می‌توان در طراحی‌ها به عنوان وسیله‌ای برای داشتن تخمین اولیه به کار برد. البته نتایج حاصل از مدل سازی و شبیه سازی تنها وقتی مفید و قابل اطمینان‌اند که ساز و کار انتخابی و ثابت‌های به کار رفته در آن صحیح باشند.

در این مقاله، برای بررسی سینتیک واکنش RAFT استیرن ساز و کار کاملاً با استفاده از مدل اختتام راديکال حدواسط در نظر گرفته شده است. مدل سازی این ساز و کار با روش معادلات ممان انجام و اثر تغییر غلظت اولیه عامل RAFT روی سینتیک واکنش، وزن مولکولی و شاخص پراکنده‌گی بررسی شده است. برای تعیین صحت مدل سازی، نتایج حاصل از آن با داده‌های تجربی پلیمر شدن RAFT استیرن [۱۸] مقایسه شده که در آن از نرم افزار PREDICI برای مدل سازی استفاده شده است. در اکثر ساز و کارهایی که قبل ارائه شده، از چند واکنش برای سادگی صرف نظر شده است و واکنش‌هایی مانند اختتام راديکال

پلیمر شدن راديکالی دارای مزایایی هم چون تنوع در نوع مونومر، مقاومت در برابر وجود ناخالصی و شرایط متعادل واکنش است، اما در پلیمر شدن راديکالی کنترل مناسبی روی خواص زنجیر وجود ندارد. کشف اخیر پلیمر شدن راديکالی زنده می‌تواند راه حلی برای این امر باشد. پلیمر شدن تا هنگامی زنده فرض می‌شود که هیچ نوع اختتام یا انتقال دائمی در آن رخ ندهد [۱] و زنده بودن پلیمر شدن یک شرط لازم برای کنترل وزن مولکولی پلیمر است [۲]. در پلیمر شدن راديکال آزاد، راديکال‌های کربنی بسیار فعال‌اند و برای زنده نگه داشتن راديکال‌ها باید آنها را با موادی خاص به طور کوتاه‌مدت و بازگشت‌پذیر غیرفعال کرد. تاکنون روش‌های مختلفی از پلیمر شدن راديکالی زنده ابداع شده‌اند که در هر کدام از آنها از روش متفاوتی برای غیرفعال کردن کوتاه‌مدت و بازگشت‌پذیر راديکال‌ها استفاده می‌شود.

پلیمر شدن با واسطه نیتروکسید، (nitroxide mediated polymerization) (stable free radical NMP) که پلیمر شدن راديکال آزاد پایدار polymerization, SFRP) نیز نامیده می‌شود از ترکیباتی مانند  $\text{2,2'-azobisisobutyronitrile}$  (AIBN) تترامتیل پیریدینیل-۱-اکسی برای غیرفعال کردن راديکال‌ها استفاده می‌کند [۳، ۴]. راديکال نیتروکسید با راديکال در حال رشد واکنش داده و یک گونه غیرفعال برگشت‌پذیر را تشکیل می‌دهد. گونه‌های خفته (رادیکال‌های غیرفعال شده) به طور متناوب به یک راديکال در حال رشد و یک راديکال نیتروکسید تجزیه می‌شوند. پلیمر شدن راديکالی انتقال اتم (atom transfer radical polymerization, ATRP) از یک اتم هالوژن (انگل Br و Cl) برای غیرفعال سازی راديکال‌ها بهره می‌برد [۵-۷]. کمپلکسی از یک هالید فلز با درجه اکسایش کم (مانند  $\text{Cu(I)Br}$ ) و یک لیگاند (مانند  $\text{2,2'-bipyridine}$ ) در یک درجه اکسایش برگشت‌پذیر قرار می‌گیرد و یک اتم هالوژن از انتهای زنجیر پلیمری جدا می‌کند تا یک راديکال در حال رشد تشکیل شود. اتم هالوژن جدا شده مجدداً می‌تواند راديکال در حال رشد را غیرفعال کند.

در پلیمر شدن انتقال زنجیر افزایشی - جدایشی برگشت‌پذیر (reversible addition-fragmentation chain transfer polymerization, RAFT) از ترکیبات دی‌تیوکربونیل ( $\text{Z-C(=C)S-R}$ ) برای غیرفعال سازی راديکال‌ها استفاده می‌شود. راديکال در حال رشد طی واکنش افزایشی برگشت‌پذیر با ترکیب دی‌تیو واکنش می‌دهد و راديکال حدواسطی را به وجود می‌آورد که واکنش پذیری لازم را برای رشد ندارد. راديکال حدواسط می‌تواند در دو جهت طی واکنش جدایشی برگشت‌پذیر تجزیه شده و یک راديکال در حال رشد تولید کند [۸، ۹].

در سال‌های اخیر، پلیمر شدن انتقال زنجیر افزایشی - جدایشی (RAFT) به دلیل قابلیت ایجاد پلیمرهایی با وزن مولکولی کنترل شده،

و کار واکنش های (۱۰) تا (۱۳) نیز به آن اضافه شده است. واکنش های (۱۴) تا (۱۶) اختتام بین راديکال حد واسط تولید شده در مرحله تعادل اصلی با سایر راديکال های موجود در واکنش را نشان می دهند. این واکنش ها به دلیل فرض صحیح بودن نظریه اختتام راديکال های حدواسط (IRT)، در ساز و کار در نظر گرفته شده اند. ثوابت سرعت واکنش های موجود در ساز و کار و پارامتر های سینتیکی در جدول ۱ آورده شده اند.

معادله استفاده شده برای ثابت اختتام بین درشت راديکال های استیرن با در نظر گرفتن اثر ژل در جدول ۲ آورده شده است. هم چنین، از این تابع به عنوان ثابت اختتام راديکال های حدواسط با زنجیر های راديکالی (k<sub>tCr1</sub>) نیز استفاده شده است.

لازم به ذکر است، عامل RAFT استفاده شده در این مدل سازی کومیل دی تیوبنزوات است و شرایط واکنش به ترتیب زیر اعمال شده است [۱۸]: پلیمرشدن استیرن به حالت توده به وسیله آغازگر AIBN با غلظت  $3/5 \times 10^{-3}$  mol/L در دمای  $60^{\circ}\text{C}$  انجام شده است.

### مدل سازی واکنش

برای مدل سازی ساز و کار آورده شده در طرح ۱ از روش معادلات ممان

جدول ۱- ثوابت سرعت استفاده شده برای واکنش های ارائه شده در طرح ۱.

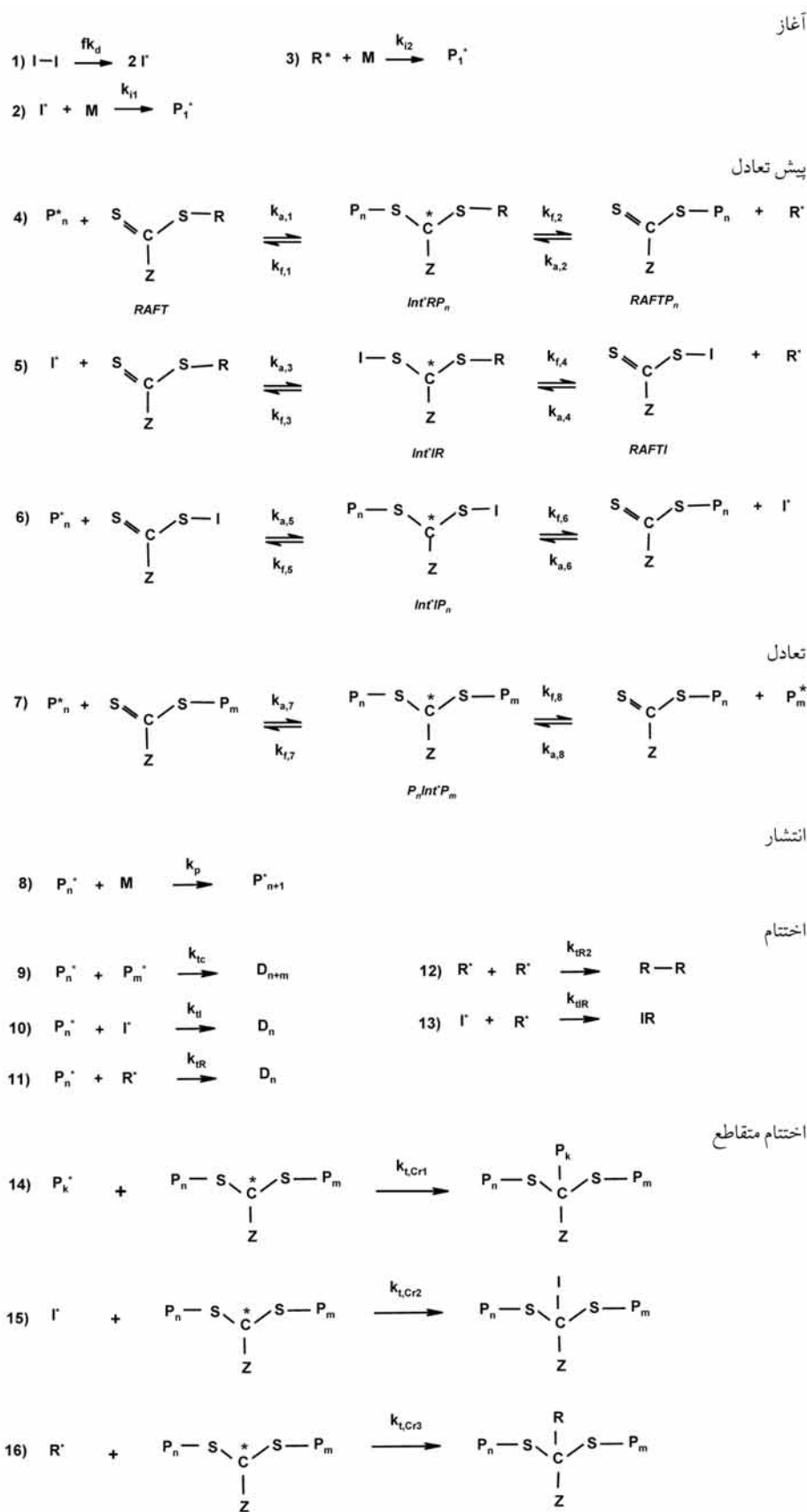
| مرجع     | واحد                            | مقدار                 | پارامتر                            |
|----------|---------------------------------|-----------------------|------------------------------------|
| [۱۸]     | -                               | $0/64$                | f                                  |
| [۱۸]     | $\text{s}^{-1}$                 | $9/53 \times 10^{-6}$ | k <sub>d</sub>                     |
| [۱۱]     | $\text{Lmol}^{-1}\text{s}^{-1}$ | ۱۷۲۵                  | k <sub>i1</sub>                    |
| [۱۰]     | $\text{Lmol}^{-1}\text{s}^{-1}$ | ۳۴۰                   | k <sub>i2</sub>                    |
| کار حاضر | $\text{Lmol}^{-1}\text{s}^{-1}$ | $6 \times 10^{-6}$    | k <sub>a,1</sub> -k <sub>a,6</sub> |
| کار حاضر | $\text{s}^{-1}$                 | $5 \times 10^{-4}$    | k <sub>f,1</sub> -k <sub>f,6</sub> |
| [۱۰,۲]   | $\text{Lmol}^{-1}\text{s}^{-1}$ | ۴۰۳                   | k <sub>p</sub>                     |
| [۱۰]     | $\text{Lmol}^{-1}\text{s}^{-1}$ | $2 \times 10^{-8}$    | k <sub>tI</sub>                    |
| [۱۰]     | $\text{Lmol}^{-1}\text{s}^{-1}$ | $2 \times 10^{-8}$    | k <sub>tR</sub>                    |
| [۱۰]     | $\text{Lmol}^{-1}\text{s}^{-1}$ | $2 \times 10^{-8}$    | k <sub>tR2</sub>                   |
| [۱۰]     | $\text{Lmol}^{-1}\text{s}^{-1}$ | $2 \times 10^{-8}$    | k <sub>tIR</sub>                   |
| کار حاضر | $\text{Lmol}^{-1}\text{s}^{-1}$ | $2 \times 10^{-8}$    | k <sub>tCr2</sub>                  |
| کار حاضر | $\text{Lmol}^{-1}\text{s}^{-1}$ | $2 \times 10^{-8}$    | k <sub>tCr3</sub>                  |

حدواسط در نظر گرفته نشده است. در ساز و کار ارائه شده در این مقاله تمام واکنش های شناخته شده در ساز و کار پلیمرشدن RAFT در نظر گرفته شده و در مدل سازی لحاظ شده است.

### ساز و کار واکنش

پلیمرشدن های انتقال زنجیر افزایشی - جدایشی (RAFT) از طریق ساز و کار انتقال زنجیر برگشت پذیر پیش می روند. در این پلیمر شدن، دو مرحله تعادل به نام پیش تعادل و تعادل اصلی به ساز و کار پلیمرشدن راديکال آزاد اضافه می شود که شامل مراحل شروع، رشد و اختتام است. ساز و کار در نظر گرفته شده برای پلیمرشدن RAFT در طرح ۱ آورده شده است. واکنش های (۱) تا (۳) واکنش های شروع هستند. در واکنش (۱) از تجزیه هر مول آغازگر دو مول راديکال آزاد تشکیل می شود. در واکنش (۲) راديکال تشکیل شده از تجزیه آغازگر با مونومر وارد واکنش می شود و واکنش (۳) واکنش شروع مجدد راديکال آزاد حاصل از عامل RAFT اولیه را نشان می دهد. واکنش های (۴) تا (۶) مرحله پیش تعادل را تشکیل می دهند. واکنش های (۴) و (۵) دو واکنش اصلی در این مرحله هستند و واکنش (۶) به عنوان یک واکنش احتمالی در نظر گرفته می شود [۱۹]. در واکنش (۴) زنجیر های راديکالی در حال رشد با پیوند دو گانه کربن- گوگرد در عامل RAFT واکنش داده و راديکال حدواسط Int\*RP<sub>n</sub> تشکیل می شود. این ترکیب ناپایدار است و می تواند در دو جهت تجزیه شود. بدین ترتیب، یا واکنش دهنده های اولیه تشکیل می شوند یا یک راديکال آزاد (R\*) به همراه ترکیب خفته RAFTP<sub>n</sub> تشکیل می شود. در واکنش (۵) راديکال آزاد حاصل از تجزیه آغازگر با عامل RAFT واکنش داده و راديکال حدواسط Int\*IR به وجود می آید که می تواند در دو جهت تجزیه شود. در واکنش (۶) زنجیر های راديکالی در حال رشد با ترکیب RAFTI واکنش داده و ترکیب حدواسط و ناپایدار Int\*IP<sub>n</sub> تولید می شود. واکنش تجزیه این ترکیب نیز می تواند در دو جهت پیش رود. واکنش (۷) مرحله تعادل اصلی را نشان می دهد. در این واکنش زنجیر های راديکالی به عوامل RAFTP<sub>n</sub> افزوده می شوند و ترکیب نسبتاً متقارنی تشکیل می شود که می تواند در دو جهت دچار واکنش جدایش شده و یک زنجیر راديکالی و یک عامل RAFTP<sub>n</sub> تولید کند.

این مرحله از واکنش بخش اصلی ساز و کار RAFT را تشکیل می دهد. واکنش های برگشت پذیر افزایشی - جدایشی سبب ایجاد تعادل بین گونه های در حال رشد (P<sub>n</sub>\*) و خفته (RAFTP<sub>n</sub>) می شود و همین امر به پلیمرشدن خاصیت زنده بودن می دهد. واکنش (۸) واکنش رشد و واکنش های (۹) تا (۱۶) واکنش های اختتام را نشان می دهند. واکنش اختتام در پلیمرشدن استیرن واکنش ترکیب است که در این ساز



طرح ۱ - ساز و کار پیشنهاد شده برای بررسی سینتیک واکنش پلیمرشدن RAFT

برای به دست آوردن معادلات ممان ابتدا باید موازنی جرم شش نوع زنجیر مختلف موجود در ساز و کار را نوشت. معادلات موازنی جرم به ترتیب زیر هستند:

$$\frac{d[P_i^*]}{dt} = -[P_i^*] \left( k_{a,1} [RAFT] + k_{a,5} [RAFTI] + k_p [M] + k_a \mu'_0 + k_{tc} \lambda_0 + k_{tl} [I^*] + k_{tr} [R^*] + \frac{1}{2} k_{tCr1} \omega_0 + [M] (k_{i1} [I^*] + k_{i2} [R^*]) + k_{f,1} [Int^* RP_i] + k_{f,5} [Int^* IP_i] + \frac{1}{2} k_f \sum_{i=1}^{\infty} [P_i Int^* P_i] \right) \quad (10)$$

$$\frac{d[P_n^*]}{dt} = -[P_n^*] \left( k_{a,1} [RAFT] + k_{a,5} [RAFTI] + k_p [M] + k_a \mu'_0 + k_{tc} \lambda_0 + k_{tl} [I^*] + k_{tr} [R^*] + \frac{1}{2} k_{tCr1} \omega_0 + k_{f,1} [Int^* RP_i] + k_{f,5} [Int^* IP_i] + k_p [P_{n-1}] [M] + \frac{1}{2} k_f \sum_{i=1}^{\infty} [P_i Int^* P_i] \right) \quad (11)$$

$$\frac{d[D_n]}{dt} = \frac{1}{2} \left( k_{tc} \sum_{i=1}^{n-1} [P_i^*] [P_{n-i}^*] + k_{tCr1} \sum_{i=2}^{n-1} [P_{n-i}^*] \sum_{j=1}^{i-1} [P_{i-j} Int^* P_j] + \omega_0 (k_{tCr2} [I^*] + k_{tCr} [R^*]) + [P_n^*] (k_{tl} [I^*] + k_{tr} [R^*]) \right) \quad (12)$$

$$\frac{d[Int^* IP_n]}{dt} = k_{a,5} [RAFTI] [P_n^*] + k_{a,6} [RAFTP_n] [I^*] - (k_{f,5} + k_{f,6}) [Int^* IP_n] \quad (13)$$

$$\frac{d[Int^* RP_n]}{dt} = k_{a,1} [RAFT] [P_n^*] + k_{a,2} [RAFTP_n] [R^*] - (k_{f,1} + k_{f,2}) [Int^* RP_n] \quad (14)$$

$$\frac{d[RAFTP_n]}{dt} = -[RAFTP_n] (k_{a,2} [R^*] + k_{a,6} [I^*] + k_a \lambda_0) + k_{f,2} [Int^* RP_n] + k_{f,6} [Int^* IP_n] + \frac{1}{2} k_f \sum_{i=1}^{\infty} [P_n Int^* P_i] \quad (15)$$

$$\frac{d[P_n Int^* P_m]}{dt} = -[P_n Int^* P_m] \left( k_f + k_{tCr1} \lambda_0 + k_{tCr2} [I^*] + k_{tCr3} [R^*] + k_a [RAFTP_n] [P_m^*] + k_a [P_n^*] [RAFTP_m] \right) \quad (16)$$

جدول ۲- ثابت سرعت اختتام با درنظر گرفتن اثر ژل برای رادیکال های استیرن [۲۰].

| پارامتر  | مقدار                              |
|--|------------------------------------|
| $k_{t0}$ (Lmol <sup>-1</sup> s <sup>-1</sup> ) | $3.82 \times 10^{-9} \exp(-958/T)$ |
| $k_{tc}$ (Lmol <sup>-1</sup> s <sup>-1</sup> ) | $k_{t0} \exp[-2(bp+cp^2+dp^3)]$    |
| b  | $2.57 - (5.05 \times 10^{-3})T$    |
| c  | $9.56 - (1.76 \times 10^{-2})T$    |
| d  | $3.03 - (7.85 \times 10^{-3})T$    |
| T (K)  | ۳۳۳                                |

استفاده شده است و همچنین برای نوشتن معادلات سرعت، واکنش های موجود در ساز و کار، ابتدایی در نظر گرفته شده اند. ممان های استفاده شده در مدل سازی به شکل زیر تعریف شده اند:

$$\lambda_k = \sum_{i=1}^{\infty} i^k [P_i^*], \quad k = 0, 1, 2 \quad (1)$$

$$\lambda'_k = \sum_{i=1}^{\infty} i^k [Int^* IP_i], \quad k = 0, 1, 2 \quad (2)$$

$$\lambda''_k = \sum_{i=1}^{\infty} i^k [Int^* RP_i], \quad k = 0, 1, 2 \quad (3)$$

$$\mu_k = \sum_{i=1}^{\infty} i^k [D_i], \quad k = 0, 1, 2 \quad (4)$$

$$\mu'_k = \sum_{i=1}^{\infty} i^k [RAFTP_i], \quad k = 0, 1, 2 \quad (5)$$

$$\omega_k = \sum_{i=1}^{\infty} \sum_{j=1}^{\infty} i^k [P_i Int^* P_j], \quad k = 0, 1, 2 \quad (6)$$

$$\omega'_k = \sum_{i=2}^{\infty} \sum_{j=1}^{i-1} i^k [P_{i-j} Int^* P_j], \quad k = 0, 1, 2 \quad (7)$$

با توجه به ممان های تعریف شده برای محاسبه متوسط عددی و وزنی وزن مولکولی از معادله های زیر استفاده می شود. در این معادله ها  $M_m$  وزن مولکولی مونومر است:

$$\bar{M}_n = M_m \frac{\lambda_1 + \lambda'_1 + \lambda''_1 + \mu_1 + \mu'_1 + \omega'_1}{\lambda_0 + \lambda'_0 + \lambda''_0 + \mu_0 + \mu'_0 + \omega'_0} \quad (8)$$

$$\bar{M}_w = M_m \frac{\lambda_2 + \lambda'_2 + \lambda''_2 + \mu_2 + \mu'_2 + \omega'_2}{\lambda_1 + \lambda'_1 + \lambda''_1 + \mu_1 + \mu'_1 + \omega'_1} \quad (9)$$

$$\frac{d\omega_1}{dt} = k_a \mu'_0 \lambda_1 + k_a \lambda_0 \mu'_1 \quad (27)$$

$$-\omega_1 (k_f + k_{tCr1} \lambda_0 + k_{tCr2} [I^*] + k_{tCr3} [R^*])$$

$$\frac{d\omega'_1}{dt} = 2 \frac{d\omega_1}{dt} \quad (28)$$

هم چنین، تغییرات ممان‌های دوم به ترتیب زیر به دست آمده‌اند:

$$\begin{aligned} \frac{d\lambda_2}{dt} = & -\lambda_2 \left( k_{a,1} [RAFT] + k_{a,5} [RAFTI] + k_a \mu'_0 + k_{tc} \lambda_0 \right. \\ & \left. + k_{tl} [I^*] + k_{tR} [R^*] + \frac{1}{2} k_{tCr1} \omega_0 \right. \\ & \left. + [M] (k_{il} [I^*] + k_{i2} [R^*] + k_p (2\lambda_1 + \lambda_0)) + k_{f,1} \lambda''_2 \right. \\ & \left. + k_{f,5} \lambda'_2 + \frac{1}{2} k_f \omega_0 \right) \end{aligned} \quad (29)$$

$$\frac{d\lambda'_2}{dt} = k_{a,5} [RAFTI] \lambda_2 + k_{a,6} [I^*] \mu'_2 - (k_{f,5} + k_{f,6}) \lambda'_2 \quad (30)$$

$$\frac{d\lambda''_2}{dt} = k_{a,1} [RAFT] \lambda_2 + k_{a,2} [R^*] \mu'_2 - (k_{f,1} + k_{f,2}) \lambda''_2 \quad (31)$$

$$\begin{aligned} \frac{d\mu_2}{dt} = & \lambda_2 (k_{tl} [I^*] + k_{tR} [R^*]) + k_{tc} (\lambda_0 \lambda_2 + \lambda_1^2) \\ & + \frac{1}{2} k_{tCr1} (\lambda_0 \omega'_2 + 2\lambda_1 \omega'_1 + \lambda_2 \omega_0) \end{aligned} \quad (32)$$

$$+ \frac{1}{2} \omega'_2 (k_{tCr2} [I^*] + k_{tCr3} [R^*])$$

$$\begin{aligned} \frac{d\mu'_2}{dt} = & -\mu'_2 (k_{a,2} [R^*] + k_{a,6} [I^*] + k_a \lambda_0) + k_{f,2} \lambda''_2 \\ & + k_{f,6} \lambda'_2 + \frac{1}{2} k_f \omega_2 \end{aligned} \quad (33)$$

$$\begin{aligned} \frac{d\omega_2}{dt} = & k_a \mu'_0 \lambda_2 + k_a \lambda_0 \mu'_2 \\ & - \omega_2 (k_f + k_{tCr1} \lambda_0 + k_{tCr2} [I^*] + k_{tCr3} [R^*]) \end{aligned} \quad (34)$$

$$\begin{aligned} \frac{d\omega'_2}{dt} = & 2 (k_a \lambda_0 \mu'_2 + 2k_a \lambda_1 \mu'_1 + k_a \lambda_2 \mu'_0) \\ & - \omega'_2 (k_f + k_{tCr1} \lambda_0 + k_{tCr2} [I^*] + k_{tCr3} [R^*]) \end{aligned} \quad (35)$$

معادلات موازنۀ جرم مواد موجود در ساز و کار که غلظت آنها در معادلات ممان بالا ظاهر شده‌اند، در زیر آورده شده است:

$$\frac{d[I]}{dt} = -k_d [I] \quad (36)$$

با استفاده از معادلات داده شده، تغییرات ممان‌های صفرم به شکل زیر به دست می‌آیند:

$$\begin{aligned} \frac{d\lambda_0}{dt} = & -\lambda_0 \left( k_{a,1} [RAFT] + k_{a,5} [RAFTI] + k_a \mu'_0 + k_{tc} \lambda_0 \right. \\ & \left. + k_{tl} [I^*] + k_{tR} [R^*] + \frac{1}{2} k_{tCr1} \omega_0 \right. \\ & \left. + [M] (k_{il} [I^*] + k_{i2} [R^*]) + k_{f,1} \lambda''_0 + k_{f,5} \lambda'_0 + \frac{1}{2} k_f \omega_0 \right) \end{aligned} \quad (17)$$

$$\frac{d\lambda'_0}{dt} = k_{a,5} [RAFTI] \lambda_0 + k_{a,6} [I^*] \mu'_0 - (k_{f,5} + k_{f,6}) \lambda'_0 \quad (18)$$

$$\frac{d\lambda''_0}{dt} = k_{a,1} [RAFT] \lambda_0 + k_{a,2} [R^*] \mu'_0 - (k_{f,1} + k_{f,2}) \lambda''_0 \quad (19)$$

$$\begin{aligned} \frac{d\mu_0}{dt} = & \lambda_0 (k_{tl} [I^*] + k_{tR} [R^*] + \frac{1}{2} k_{tc} \lambda_0) \\ & + \frac{1}{2} \omega'_0 (k_{tCr1} \lambda_0 + k_{tCr2} [I^*] + k_{tCr3} [R^*]) \end{aligned} \quad (20)$$

$$\begin{aligned} \frac{d\mu'_0}{dt} = & -\mu'_0 (k_{a,2} [R^*] + k_{a,6} [I^*] + k_a \lambda_0) \\ & + k_{f,2} \lambda''_0 + k_{f,6} \lambda'_0 + \frac{1}{2} k_f \omega_0 \end{aligned} \quad (21)$$

تغییرات ممان‌های اول نیز به شکل زیر به دست آمده‌اند:

$$\begin{aligned} \frac{d\lambda_1}{dt} = & -\lambda_1 \left( k_{a,1} [RAFT] + k_{a,5} [RAFTI] + k_a \mu'_0 + k_{tc} \lambda_0 \right. \\ & \left. + k_{tl} [I^*] + k_{tR} [R^*] + \frac{1}{2} k_{tCr1} \omega_0 \right. \\ & \left. + [M] (k_{il} [I^*] + k_{i2} [R^*] + k_p \lambda_0) + k_{f,1} \lambda''_1 + k_{f,5} \lambda'_1 \right. \\ & \left. + \frac{1}{2} k_f \omega_0 \right) \end{aligned} \quad (22)$$

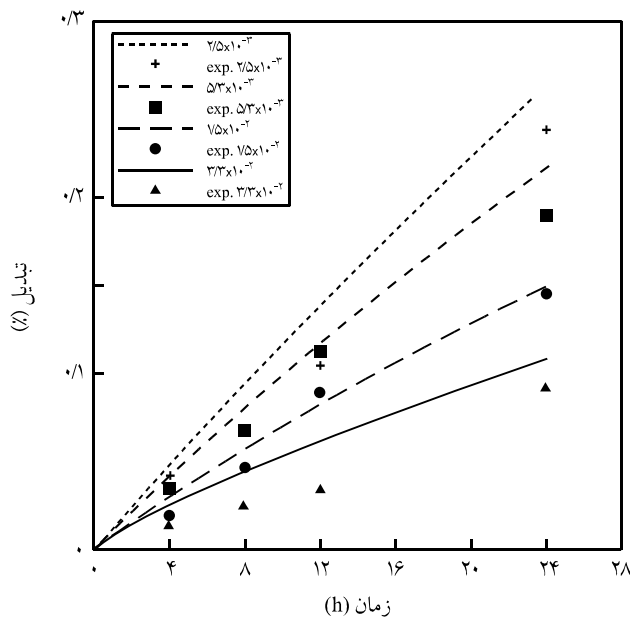
$$\frac{d\lambda'_1}{dt} = k_{a,5} [RAFTI] \lambda_1 + k_{a,6} [I^*] \mu'_1 - (k_{f,5} + k_{f,6}) \lambda'_1 \quad (23)$$

$$\frac{d\lambda''_1}{dt} = k_{a,1} [RAFT] \lambda_1 + k_{a,2} [R^*] \mu'_1 - (k_{f,1} + k_{f,2}) \lambda''_1 \quad (24)$$

$$\begin{aligned} \frac{d\mu_1}{dt} = & \lambda_1 (k_{tl} [I^*] + k_{tR} [R^*]) + k_{tc} \lambda_0 \lambda_1 \\ & + \frac{1}{2} k_{tCr1} (\lambda_1 \omega'_0 + \lambda_0 \omega'_1) + \omega'_1 \left( \frac{1}{2} k_{tCr2} [I^*] + \frac{1}{2} k_{tCr3} [R^*] \right) \end{aligned} \quad (25)$$

$$\begin{aligned} \frac{d\mu'_1}{dt} = & -\mu'_1 (k_{a,2} [R^*] + k_{a,6} [I^*] + k_a \lambda_0) + k_{f,2} \lambda''_1 + k_{f,6} \lambda'_1 \\ & + \frac{1}{2} k_f \omega_1 \end{aligned} \quad (26)$$

دانسته اند (نظریه IRT) [۱۰، ۶]. هر دو علت یادشده باعث کاهش غلظت رادیکال های موجود در سامانه و در نتیجه کاهش سرعت پلیمر شدن می شود. در ساز و کار در نظر گرفته شده برای مدل سازی در این مقاله علت کاهش سرعت، اختتام رادیکال حد واسط در نظر گرفته شده است. شکل ۱ نتایج حاصل از مدل سازی و نتایج تجربی حاصل از پلیمر شدن استیرن را در دمای  $60^{\circ}\text{C}$  به کمک AIBN به عنوان آغازگر و در غلظت های مختلف عامل RAFT کو میل دی تیوبنزووات (CDB) نشان می دهد. همان طور که مشاهده می شود، نتایج مدل سازی مطابقت خوبی با نتایج تجربی دارند. با افزایش غلظت عامل RAFT درصد تبدیل در یک زمان مشخص کاهش می یابد. دلیل این امر افزایش احتمال واکنش زنجیرهای رادیکالی با عوامل RAFTP<sub>n</sub> و RAFT با افزایش غلظت عامل RAFT (شکل ۲) و در نتیجه کاهش بیشتر سرعت پلیمر شدن است. در واقع چون رادیکال های بیشتری وارد واکنش های تعادل می شوند، از سرعت واکنش به شدت کاسته می شود و در نتیجه مقدار درصد تبدیل نیز در زمان مشخص کاهش می یابد. برای به دست آوردن پلیمری با توزیع وزن مولکولی باریک، باید شرایطی فراهم شود تا تمام زنجیرها با هم شروع به رشد کنند. برای برقراری چنین شرایطی در پلیمر شدن RAFT، باید گروههای ترک کننده (R) در عامل RAFT به طور هم زمان ترک کننده و شروع کننده خوبی باشد، تا هم از ایجاد تأخیر بیشتر در سرعت و ایجاد دوره بازداری (دوره ای با پیشرفت بسیار اندک و نامحسوس در پلیمر شدن) جلوگیری شود و همه



شکل ۱- تغییرات درصد تبدیل با زمان در غلظت های (mol/L) مختلف عامل RAFT.

$$\frac{d[M]}{dt} = -[M] (k_{i1}[I^*] + k_{i2}[R^*] + k_p \lambda_0) \quad (37)$$

$$\begin{aligned} \frac{d[\text{RAFT}]}{dt} = & -[\text{RAFT}] (k_{a,1}\lambda_0 + k_{a,3}[I^*]) \\ & + k_{f,1}\lambda_0'' + k_{f,3}[\text{Int}^* \text{IR}] \end{aligned} \quad (38)$$

$$\begin{aligned} \frac{d[I^*]}{dt} = & 2fk_d[I] - [I^*] \left( k_{i1}[M] + k_{a,3}[\text{RAFT}] \right. \\ & \left. + k_{a,6}\mu'_0 + k_{i1}\lambda_0 + k_{tIR}[R^*] \right. \\ & \left. + \frac{1}{2}k_{tCr2}\omega_0 \right) \\ & + k_{f,3}[\text{Int}^* \text{IR}] + k_{f,6}\lambda'_0 \end{aligned} \quad (39)$$

$$\begin{aligned} \frac{d[R^*]}{dt} = & -[R^*] \left( k_{i2}[M] + k_{a,2}\mu'_0 + k_{a,4}[\text{RAFTI}] \right. \\ & \left. + k_{tIR}\lambda_0 + 2k_{tR2}[R^*] + k_{tIR}[I^*] \right. \\ & \left. - \frac{1}{2}k_{tCr3}\omega_0 \right) \\ & + k_{f,2}\lambda_0'' + k_{f,4}[\text{Int}^* \text{IR}] \end{aligned} \quad (40)$$

$$\begin{aligned} \frac{d[\text{RAFTI}]}{dt} = & -[\text{RAFTI}] (k_{a,4}[R^*] + k_{a,5}\lambda_0) \\ & + k_{f,4}[\text{Int}^* \text{IR}] + k_{f,5}\lambda'_0 \end{aligned} \quad (41)$$

$$\begin{aligned} \frac{d[\text{Int}^* \text{IR}]}{dt} = & k_{a,3}[I^*][\text{RAFT}] + k_{a,4}[R^*][\text{RAFTI}] \\ & - (k_{f,3} + k_{f,4})[\text{Int}^* \text{IR}] \end{aligned} \quad (42)$$

برای حل معادلات گفته شده از زبان برنامه نویسی C++ استفاده شده و روش حل معادلات رانگ - کاتا مرتبه ۴ به کار رفته است.

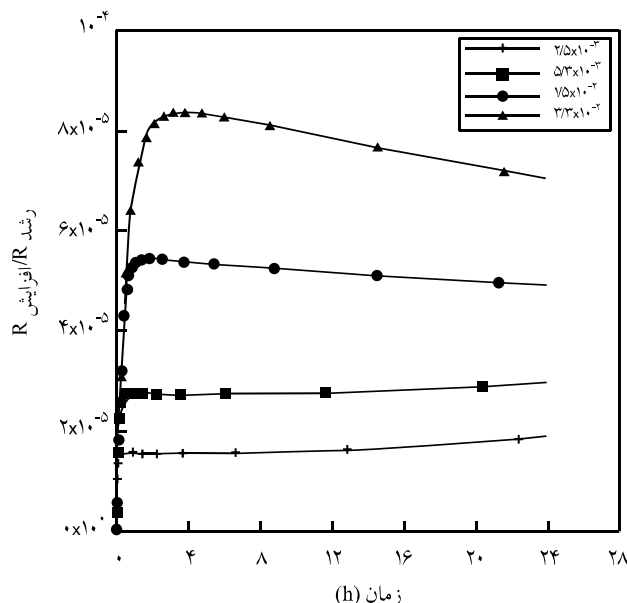
## نتایج و بحث

اضافه کردن عامل RAFT به یک سامانه پلیمر شدنی رادیکال آزاد علاوه بر القای ویژگی های پلیمر شدن زنده، باعث بروز پدیده تأخیر در سرعت پلیمر شدن می شود. برخی پایداری نسبی رادیکال حد واسط تولید شده در مرحله تعادل اصلی را دلیل اصلی تأخیر سرعت می دانند (نظریه جدایش کند SF) [۱۱، ۱۸] و برخی دیگر وجود واکنش اختتام رادیکال حد واسط با سایر رادیکال های موجود را دلیل تأخیر سرعت پلیمر شدن

تمام شده و این بدان معنی است که رادیکال های آزادشده از عامل RAFT رشد خود را تقریباً هم زمان آغاز می کنند.

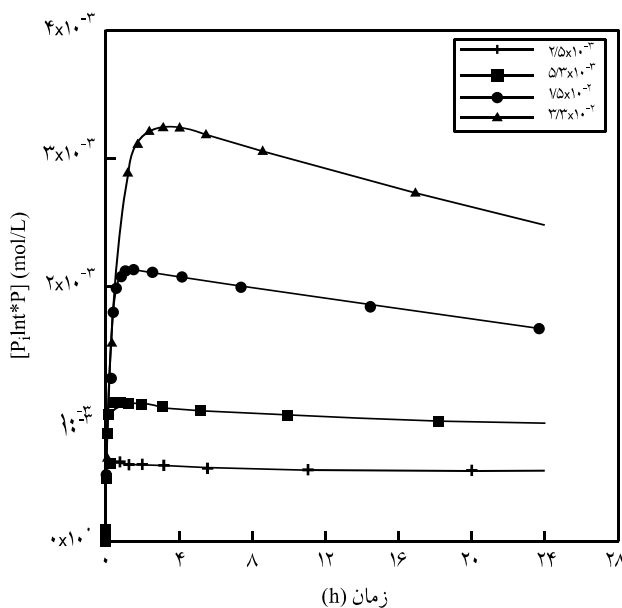
مهم ترین مرحله در پلیمر شدن RAFT، تعادل اصلی است. در این مرحله بین زنجیرهای رادیکالی در حال رشد و گونه های خفته RAFTP<sub>n</sub>، با رادیکال های حد واسط تعادل برقرار می شود و غلظت رادیکال های حد واسط پس از گذشت مدت زمانی از ابتدای واکنش تقریباً در مقدار یکنواختی، ثابت می ماند (شکل ۴). بدین ترتیب، یک رادیکال در حال رشد بعد از خوردن یک (یا تعداد اندکی) مونومر با عوامل<sub>n</sub> RAFT واکنش می دهد تا رادیکال حد واسط تولید شود. سپس، این رادیکال دوباره تجزیه شده و زنجیر رادیکالی دیگری را تولید می کند که آن نیز می تواند قبل از واکنش با عوامل<sub>n</sub> RAFT با (یا تعداد اندکی) مونومر واکنش دهد. این روند باعث ایجاد خاصیت زنده بودن و رشد هماهنگ زنجیرهای رادیکالی می شود. هم چنین، به دلیل زیاد بودن ثابت سرعت افزایش  $k_a$  اکثر رادیکال های شکل عوامل خفته و به شکل عوامل<sub>n</sub> RAFT موجود هستند و غلظت رادیکال های فعال در سامانه نسبت به پلیمر شدن رادیکال آزاد، کاهش می یابد. این امر، باعث کاهش شدید واکنش های اختتام دومولکولی و در نتیجه زنده ماندن درشت رادیکال ها می شود.

شکل ۵-الف نتایج حاصل از مدل سازی و نتایج تجربی متوسط عددی وزن مولکولی را نشان می دهد. در سامانه های پلیمر شدن زنده انتظار می رود که وزن مولکولی با زمان به طور خطی تغییر کند که این روند در

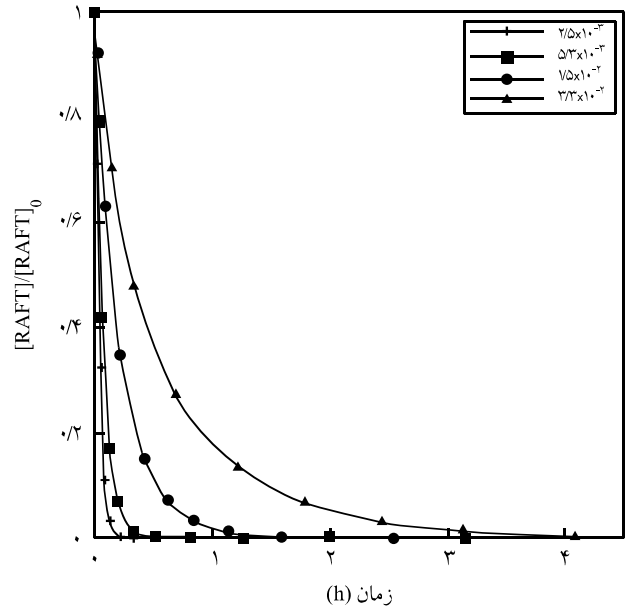


شکل ۲ - تغییرات نسبت سرعت واکنش افزایش به واکنش رشد در غلظت های (mol/L) مختلف عامل RAFT.

زنジیرها با هم رشد خود را آغاز کنند. نتایج مدل سازی برای پلیمر شدن استیرن در غلظت های اولیه مختلف عامل RAFT در شکل ۳ آمده است. نتایج نشان می دهد، با توجه به ثابت های سرعت در نظر گرفته شده (جدول های ۱ و ۲)، عامل RAFT در مراحل اولیه واکنش



شکل ۴ - تغییرات غلظت رادیکال حد واسط تولید شده در مرحله تعادل اصلی در غلظت های (mol/L) مختلف عامل RAFT.



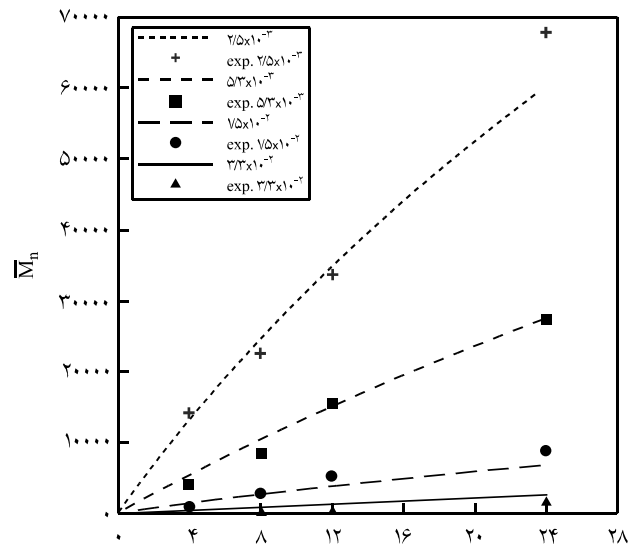
شکل ۳ - تغییرات غلظت عامل RAFT با زمان در غلظت های (mol/L) اولیه متفاوت.

خوبی با نتایج تجربی دارند که این مطلب بیان گر صحت ساز و کار در نظر گرفته شده است. همان طور که پیش از این نیز بیان شد، با افزایش غلظت عامل RAFT مقدار کاهش سرعت پلیمر شدن بیشتر می شود که همین امر باعث کاهش وزن مولکولی پلیمر حاصل، در زمان پلیمر شدن برابر، برای غلظت های بیشتر عامل RAFT است.

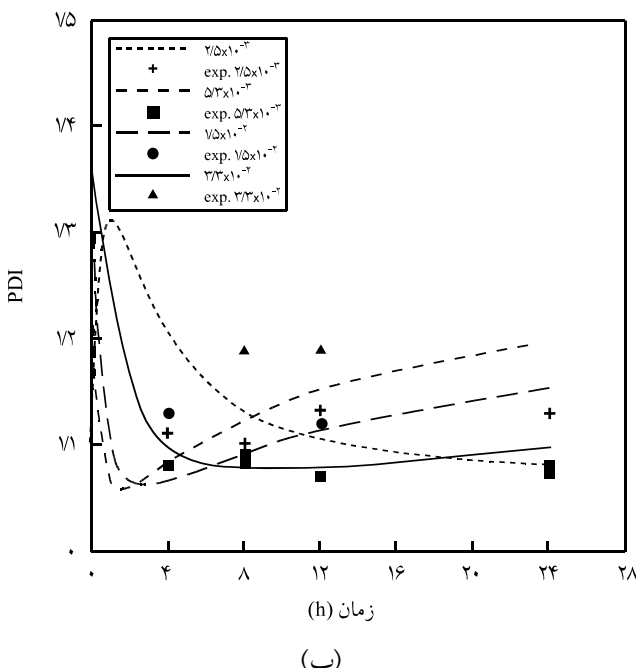
هم چنین، از خواص مهم سامانه های پلیمر شدن زنده، تولید پلیمری با شاخص پراکندگی (PDI) کم است. در پلیمر شدن RAFT نیز پلیمر نهایی دارای شاخص پراکندگی کم و نزدیک به ۱ است. با افزایش عامل RAFT کنترل بیشتری روی رشد هماهنگ زنجیرها به وجود می آید و در نتیجه شاخص پراکندگی پلیمر به دست آمده کمتر می شود. شکل ۵-ب نتایج مدل سازی و نتایج تجربی را برای شاخص پراکندگی پلیمر به دست آمده در غلظت های متفاوت عامل RAFT نشان می دهد. همان طور که مشاهده می شود، با افزایش غلظت عامل RAFT شاخص پراکندگی پلیمر به دست آمده در نهایت کمتر می شود. هم چنین، با توجه به نتایج اختلاف در حدود مقدار  $1/0$  در نتایج تجربی و مدل سازی مشاهده می شود که می تواند ناشی از مقادیر استفاده شده برای ثابت های افزایش و جدایش باشد. زیرا، تغییر اندازک در این ثابت ها باعث تغییر قابل ملاحظه ای در مقادیر به دست آمده برای داده های مدل سازی می شود.

## نتیجه گیری

در این مقاله ساز و کار کاملی برای پلیمر شدن RAFT طبق نظریه اختتام رادیکال حدواسط (IRT) در نظر گرفته شد و برای مدل سازی آن روش معادلات ممکن به کار رفت. برای تعیین صحت مدل سازی، نتایج حاصل از آن با نتایج تجربی مقایسه شد که هم خوانی خوبی نیز با یک دیگر داشتند و بیان گر این مطلب است که مدل سینتیکی IRT می تواند فرض درستی برای توجیه کاهش سرعت مشاهده شده در پلیمر شدن RAFT نسبت به پلیمر شدن رادیکال آزاد باشد. هم چنین، با استفاده از مدل سازی نشان داده شد که با افزایش غلظت اولیه عامل RAFT در پلیمر شدن، واکنش بیشتر به پلیمر شدن زنده متمایل می شود و کنترل بیشتری روی خواص زنجیر پلیمر نهایی به دست می آید. با افزایش غلظت عامل RAFT کاهش سرعت پلیمر شدن بیشتر شده، ولی از طرفی منحنی های درصد تبدیل و متوسط عددی و وزنی وزن مولکولی خطی تر می شود. هم چنین شاخص پراکندگی پلیمر نهایی به ۱ نزدیک تر می شود و توزیع وزن مولکولی آن باریک تر می شود.



(الف)



(ب)

شکل ۵ - مقایسه نتایج تجربی و مدل سازی در غلظت های (mol/L) مختلف عامل RAFT: (الف) متوسط عددی وزن مولکولی و (ب) شاخص پراکندگی.

شکل مشاهده می شود. با افزایش غلظت اولیه عامل RAFT رشد زنجیرها هماهنگ تر و یکنواخت تر می شود و واکنش های اختتام کاهش بیشتری می یابد. هم چنین، نتایج حاصل از مدل سازی هم خوانی

## مراجع

1. Aida T., Living and Immortal Polymerizations, *Prog. Polym. Sci.*, **19**, 469-528, 1994.
2. Wang R. and Zhu S., Modeling the Reversible Addition-Fragmentation Transfer Polymerization Process, *J. Polym. Sci., Part A: Polym. Chem.*, **41**, 1553-1566, 2003.
3. Veregin R.P.N., Georges M.K., Kazmaier P.M., and Hamer G.K., Free Radical Polymerizations for Narrow Polydispersity Resins: Electron Spin Resonance Studies of the Kinetics and Mechanism, *Macromolecules*, **26**, 5316-5320, 1993.
4. Souaille M. and Fischer H., Living Free Radical Polymerizations Mediated by the Reversible Combination of Transient Propagating and Persistent Nitroxide Radicals, The Role of Hydroxylamine and Alkene Formation, *Macromolecules*, **34**, 2830-2838, 2001.
5. Hawthorne D.G., Moad G., Rizzardo E., and Thang S.H., Living Radical Polymerization with Reversible Addition-Fragmentation Chain Transfer (RAFT): Direct ESR Observation of Intermediate Radicals, *Macromolecules*, **32**, 5457-5459, 1999.
6. Haddleton D.M., Jasieczek C.B., Hannon M.J., and Shooter A.J., Atom Transfer Radical Polymerization of Methyl Methacrylate Initiated by Alkyl Bromide and 2-Pyridinecarbaldehyde Imine Copper(I) Complexes, *Macromolecules*, **30**, 2190, 1997.
7. Zhang H., Klumperman B., Ming W., Fischer H., and Van Der Linde R., Effect of Cu(II) on the Kinetics of the Homogeneous Atom Transfer Radical Polymerization of Methyl Methacrylate, *Macromolecules*, **34**, 6169-6173, 2001.
8. Chong Y.K., Krstina J., Le T.P.T., Moad G., Postma A., Rizzardo E. and Thang S.H., Thiocarbonylthio Compounds [S=C(Ph)S-R] in Free Radical Polymerization with Reversible Addition-Fragmentation Chain Transfer (RAFT Polymerization). Role of the Free-Radical Leaving Group, *Macromolecules*, **36**, 2256-2272, 2003.
9. Chieffari J., Mayadunne R.T.A., Moad C.L., Moad G., Rizzardo E., Postma A., Skidmore M.A., and Thang S.H., Thiocarbonylthio Compounds (S=C(Z)S-R) in Free Radical Polymerization with Reversible Addition-Fragmentation Chain Transfer (RAFT Polymerization). Effect of the Activating Group Z, *Macromolecules*, **36**, 2273-2283, 2003.
10. Monteiro M.J., Design Strategies for Controlling the Molecular Weight and Rate Using Reversible Addition-Fragmentation Chain Transfer Mediated Living Radical Polymerization, *J. Polym. Sci., Part A: Polym. Chem.*, **43**, 3189-3204, 2005.
11. Vana P., Davis T.P. and Barner-Kowollik C., Kinetic Analysis of Reversible Addition Fragmentation Chain Transfer (RAFT) Polymerizations: Conditions for Inhibition, Retardation, and Optimum Living Polymerization, *Macromol. Theory Simul.*, **11**, 823-835, 2002.
12. Monteiro M.J. and H. de Brouwer, Intermediate Radical Termination as the Mechanism for Retardation in Reversible Addition-Fragmentation Chain Transfer Polymerization, *Macromolecules*, **34**, 349-352, 2001.
13. Monteiro M.J., Subramaniam N., Taylor J.R., Pham B.T.T., Tonge M.P., and Gilbert R.G., Retardative Chain Transfer in Free Radical Free-Radical Polymerizations of Vinyl Neodecanoate in Low Molecular Weight Polyisoprene and Toluene, *Polymer*, **42**, 2403-2411, 2001.
14. Drache M., Schmidt-Naake G., Buback M., and Vana P., Modeling RAFT Polymerization Kinetics via Monte Carlo Methods: Cumyl Dithiobenzoate Mediated Methyl Acrylate Polymerization, *Polymer*, **46**, 8483-8493, 2005.
15. Chaffey-Millar H., Stewart D., Chakravarty M.M.T., Keller G., and Barner-Kowollik C., A Parallelised High Performance Monte Carlo Simulation Approach for Complex Polymerisation Kinetics, *Macromol. Theory Simul.*, **16**, 575-592, 2007.
16. Wang A.R. and Zhu S., Modeling the Reversible Addition-Fragmentation Transfer Polymerization Process, *J. Polym. Sci., Part A: Polym. Chem.*, **41**, 1553-1566, 2003.
17. Monteiro M.J., Modeling the Molecular Weight Distribution of Block Copolymer Formation in a Reversible Addition-Fragmentation Chain Transfer Mediated Living Radical Polymerization, *J. Polym. Sci., Part A: Polym. Chem.*, **43**, 5643-5651, 2005.
18. Barner-Kowollik C., Quinn J.F., Morsley D.R., and Davis T.P., Modeling the Reversible Addition-Fragmentation Chain Transfer Process in Cumyl Dithiobenzoate-Mediated Styrene Homopolymerizations: Assessing Rate Coefficients for the Addition-Fragmentation Equilibrium, *J. Polym. Sci., Part A: Polym. Chem.*, **39**, 1353-1365, 2001.
19. Barner-Kowollik C., Buback M., Charleux B., Coote M.L.,

- Drache M., Fukuda T., Goto A., Klumperman B., Lowe A.B., McLeary J.B., Moad G., Monteiro M.J., Sanderson R.D., Tonge M.P., and Vana P., Mechanism and Kinetics of Dithiobenzoate-Mediated RAFT Polymerization. I. The Current Situation, *J. Polym. Sci., Part A: Polym. Chem.*, **44**, 5809-5831, 2006.
20. Hui A. and Hamielec E., Thermal Polymerization of Styrene at High Conversions and Temperatures. An Experimental Study, *J. Appl. Polym. Sci.*, **16**, 749-769, 1972.